

## بررسی اثرات تنش خشکی بر فتوسنتز، فلونورسانس کلروفیل و میزان رنگدانه‌های فتوسنتزی ژنوتیپ‌های متحمل و حساس نخود (*Cicer arietinum* L.)

راهله رهباریان<sup>۱\*</sup>، رضاعلی خاوری نژاد<sup>۲</sup>، علی گنجعلی<sup>۳</sup>، عبدالرضا باقری<sup>۴</sup> و فرزانه نجفی<sup>۵</sup>

۱- عضو هیئت علمی (استادیار) دانشگاه پیام‌نور، گروه زیست‌شناسی

۲- استاد گروه زیست‌شناسی دانشکده علوم، دانشگاه تربیت معلم، تهران، ایران، ra\_khavarinejad@yahoo.com

۳- دانشیار گروه زیست‌شناسی دانشکده علوم، دانشگاه فردوسی مشهد، ganjeali@um.ac.ir

۴- استاد گروه بیوتکنولوژی و په‌نژادی گیاهی، دانشکده کشاورزی دانشگاه فردوسی مشهد، abagheri@um.ac.ir

۵- استادیار گروه زیست‌شناسی دانشکده علوم، دانشگاه تربیت معلم، تهران، ایران، f\_najafi@yahoo.com

تاریخ دریافت: ۱۳۸۹/۰۸/۰۲

تاریخ پذیرش: ۱۳۸۹/۱۲/۱۸

### چکیده

به‌منظور بررسی اثرات تنش خشکی بر فتوسنتز، فلونورسانس کلروفیل و میزان رنگدانه‌های فتوسنتزی آزمایشی با دو ژنوتیپ کاندیدای متحمل به خشکی شامل MCC392 و MCC877 و دو ژنوتیپ کاندیدای حساس به خشکی شامل MCC68 و MCC448 در دو تیمار تنش خشکی (۲۵ درصد ظرفیت زراعی) و بدون تنش (ظرفیت زراعی) در اتاقک رشد در شرایط کنترل‌شده انجام شد. آزمایش به‌صورت فاکتوریل در قالب طرح کاملاً تصادفی با چهار تکرار انجام شد و میزان فتوسنتز، فلونورسانس کلروفیل و رنگدانه‌های فتوسنتزی آنها در مراحل گیاهچه‌ای، گلدهی و غلافدهی مورد سنجش و ارزیابی قرار گرفت. نتایج حاصل از این بررسی نشان داد که میزان اسیمیلاسیون CO<sub>2</sub>، تعرق و کارایی فتوسیستم II در شرایط تنش خشکی به‌طور معنی‌داری کاهش یافت. کارایی مصرف آب در شرایط تنش خشکی در همه ژنوتیپ‌های مورد بررسی افزایش یافت. تأثیر تنش خشکی بر میزان اسیمیلاسیون CO<sub>2</sub> و کارایی فتوسیستم II در ژنوتیپ‌های متحمل به تنش خشکی کمتر از ژنوتیپ‌های حساس بود. ژنوتیپ‌های متحمل به تنش، کارایی مصرف آب بیشتری نسبت به ژنوتیپ‌های حساس داشتند. تنش خشکی، تغییر چندانی در میزان کلروفیل a ایجاد نکرد، با این حال، میزان کلروفیل b در شرایط تنش خشکی، در همه ژنوتیپ‌های مورد بررسی افزایش یافت. نتایج این آزمایش نشان داد که عملکرد بهتر فتوسیستم II در شرایط تنش خشکی و همچنین بیشتر بودن کارایی مصرف آب و اسیمیلاسیون CO<sub>2</sub> در شرایط تنش خشکی، می‌تواند نشان‌دهنده متحمل بودن ژنوتیپ‌ها به خشکی باشد، بنابراین این صفات می‌توانند به‌عنوان معیارهای مناسبی جهت شناسایی ژنوتیپ‌های متحمل به تنش خشکی مورد استفاده قرار گیرند.

واژه‌های کلیدی: اسیمیلاسیون CO<sub>2</sub>، تنش خشکی، رنگدانه‌های فتوسنتزی، کارایی فتوسیستم II، نخود

### مقدمه

که به‌دلیل اهمیت راهبردی آن در تولید پروتئین‌های گیاهی در اکثر نقاط دنیا کشت می‌شود (Gunes *et al.*, 2006). تنش خشکی، علت کاهش شدید عملکرد نخود در اکثر مناطق کشت نخود و به‌ویژه ایران می‌باشد (Bagheri *et al.*, 1997). با بهبود روش‌های زراعی، به‌کارگیری روش‌های اصلاحی و استفاده از ارقام متحمل به تنش خشکی، می‌توان کاهش عملکرد ناشی از تنش خشکی را جبران نمود (Bagheri *et al.*, 1997)؛ 1998؛ Toker & Çagırgan, 1998). بنابراین بررسی مکانیسم‌های مقاومت به تنش خشکی و شناسایی ژنوتیپ‌های متحمل به تنش خشکی در گیاه نخود از اهمیت زیادی برخوردار است (2008) (Parameshwarappa & Salimath,

یکی از پاسخ‌های مهم گیاهان در شرایط تنش خشکی، بسته‌شدن روزنه‌های برگی جهت جلوگیری از تعرق و در نتیجه

خشکی یکی از مهم‌ترین عوامل محدودکننده تولید محصول در اکثر نقاط دنیا و از جمله کشور ایران به‌شمار می‌آید (Bagheri *et al.*, 1997). بررسی‌ها نشان می‌دهند که پاسخ گیاه به تنش خشکی از طریق تغییرات مورفولوژیک، فیزیولوژیک و فرایندهای متابولیکی است (Ahmed *et al.*, 2002). دستیابی به ژنوتیپ‌های متحمل به خشکی، مؤثرترین راه برای مقابله با تنش خشکی است. بنابراین لزوم به‌کارگیری معیارهای مناسب جهت گزینش ژنوتیپ‌های متحمل به خشکی، ضروری به‌نظر می‌رسد (Toker & Çagırgan, 1998). نخود (*Cicer arietinum* L.) یکی از مهم‌ترین بقولات دانه‌ای است

\* نویسنده مسئول: همراه: ۰۹۱۵۳۵۱۸۱۵۷، ra\_rahbarian@yahoo.com

هدف از این تحقیق، بررسی اثرات تنش خشکی بر شاخص‌های فتوسنتزی، فلئورسانس کلروفیل و همچنین ارتباط بین میزان رنگدانه‌های فتوسنتزی و عملکرد فتوسیستم II در ژنوتیپ‌های حساس و متحمل به تنش خشکی نخود بوده است.

### مواد و روش‌ها

به منظور بررسی و شناسایی صفات مورفوفیزیولوژیک مؤثر در بهبود تحمل به خشکی، دو ژنوتیپ کاندیدای متحمل به خشکی (MCC392 و MCC877) و دو ژنوتیپ کاندیدای حساس به خشکی (MCC68 و MCC448) حاصل آزمایش‌های درازمدت قبلی (Ganjeali, et al., 2009) در دو تیمار تنش خشکی (۲۵ درصد ظرفیت زراعی) و بدون تنش (ظرفیت زراعی) در شرایط کنترل شده به صورت آزمایش فاکتوریل در قالب طرح کاملاً تصادفی با چهار تکرار مورد بررسی قرار گرفتند. هر واحد آزمایشی در این آزمایش، از یک گلدان به حجم ۲/۵ لیتر تشکیل شد که از ماسه و خاک مزرعه به نسبت ۳:۲ پر گردید. درصد رطوبت خاک از طریق اندازه‌گیری درصد وزنی روزانه رطوبت خاک و اضافه نمودن آب مصرفی توسط هر گلدان، تنظیم شد. گلدان‌ها در اتاقک رشد در ماه اول با درجه حرارت روز و شب به ترتیب ۲۱ و ۸ درجه سانتی‌گراد و ۱۲/۵ ساعت روشنایی و ۱۱/۵ ساعت تاریکی و در ماه دوم در درجه حرارت روز و شب به ترتیب ۲۷ و ۱۲ درجه سانتی‌گراد و ۱۳ ساعت روشنایی و ۱۱ ساعت تاریکی مطابق با میانگین تقریبی داده‌های هواشناسی مناطق تولید نخود قرار گرفتند. در مراحل گیاهچه‌ای، گلدهی و غلافدهی، میزان فتوسنتز، فلئورسانس کلروفیل و میزان رنگدانه‌های فتوسنتزی ژنوتیپ‌های مورد بررسی، اندازه‌گیری شد.

اندازه‌گیری میزان اسیمیلاسیون  $CO_2$  (A)، تعرق (E) و غلظت  $CO_2$  درون سلول (Ci)، در برگ‌های جوان کاملاً توسعه یافته گیاهان در مراحل گیاهچه‌ای، گلدهی و غلافدهی به وسیله دستگاه اندازه‌گیری میزان فتوسنتز (مدل IRGA, LCA4+ ADC Bio.Scientific Ltd., Herfordshire, UK) انجام شد. کارایی لحظه‌ای مصرف آب نیز از نسبت میزان اسیمیلاسیون  $CO_2$  به میزان تعرق محاسبه شد (Ahmed et al., 2002).

برای اندازه‌گیری میزان فلئورسانس کلروفیل و میزان کارایی فتوسیستم II، ابتدا سطح برگ‌های جوان توسعه یافته با قرار گرفتن گیره بر روی آنها به مدت ۲۰ دقیقه در شرایط تاریکی قرار گرفتند و سپس با اتصال رابط دستگاه به برگ و تنظیم دستگاه، سنجش عملکرد فتوسیستم II، سرعت انتقال الکترون و عملکرد کوانتومی فتوسنتز آنها به وسیله دستگاه

حفظ آب موجود در برگ‌ها می‌باشد. بسته شدن روزنه‌ها علاوه بر کاهش میزان تعرق، سبب کاهش ورود  $CO_2$  به درون برگ می‌شود. به دنبال کاهش غلظت  $CO_2$  درون سلولی، نسبت  $CO_2/O_2$  در برگ کاهش یافته و در نتیجه میزان اسیمیلاسیون  $CO_2$  و فتوسنتز کاهش می‌یابد (Kiani et al., 2008؛ Reddy et al., 2003). کاهش میزان فتوسنتز در شرایط تنش خشکی، همچنین می‌تواند به دلیل تغییر میزان رنگدانه‌های فتوسنتزی از جمله کلروفیل a، b و کاروتنوئیدها باشد. ممانعت از سنتز کلروفیل و کاهش مقدار پروتئین متصل شونده به کلروفیل، سبب کاهش میزان کمپلکس پروتئین-رنگدانه دریافت کننده نور می‌شود و در نتیجه، میزان فتوسنتز تحت تأثیر تنش خشکی کاهش می‌یابد (Nunes et al., 2008). بررسی‌ها مؤید این است که کاروتنوئیدها نقش مهمی در پاسخ گیاه به تنش خشکی دارند و بنابراین در افزایش مقاومت به تنش خشکی نقش مؤثری دارند (Jaleel et al., 2009).

کارایی مصرف آب<sup>۱</sup> نیز به عنوان یک شاخص مهم در سنجش میزان تحمل ژنوتیپ‌ها به تنش خشکی معرفی شده است (Piper et al., 2007؛ Ahmed et al., 2002). کارایی مصرف آب بالا در یک گیاه در شرایط تنش خشکی نشان دهنده متحمل بودن آن نسبت به خشکی است (Ahmed et al., 2002).

پیامد دیگر تنش خشکی، تغییر میزان فعالیت فتوسیستم II و همچنین تخریب ساختمان پروتئین  $D_1$  موجود در فتوسیستم II و در نتیجه افزایش فلئورسانس کلروفیل در شرایط تنش خشکی است (Ahmed et al., 2002). کارایی فتوسیستم II، به عنوان یک شاخص مهم در ارزیابی میزان تحمل گونه‌های مختلف گیاهی به تنش خشکی مطرح است (Zlatev & Yordanov, 2004؛ Tilahun & Sven, 2003؛ Mssacci et al., 2008؛ Kiani et al., 2008). نتایج حاصل از بررسی‌ها نشان می‌دهد که عملکرد کوانتومی فتوسنتز (Y) و همچنین سرعت انتقال الکترون در زنجیره انتقال الکترون فتوسنتزی، تحت تأثیر تنش خشکی کاهش می‌یابند (Zlatev & Yordanov, 2004). بالاتر بودن کارایی فتوسیستم II و عملکرد کوانتومی آن در ژنوتیپ‌های متحمل به تنش خشکی نسبت به ژنوتیپ‌های حساس در گیاهانی مانند آفتابگردان (*Helianthus annuus* L.)، پنبه (*Gossypium hirsutum*) و لوبیا گزارش شده است (Mssacci et al., 2008؛ Kiani et al., 2008؛ Zlatev & Yordanov, 2004).

<sup>1</sup> Water Use Efficiency (WUE)

MCC877 و MCC448 کاهش و در ژنوتیپ MCC68 افزایش یافت (جدول ۳). در هر سه مرحله مورد بررسی، کمترین غلظت CO<sub>2</sub> درون‌برگی در شرایط تنش خشکی به ژنوتیپ MCC448 اختصاص داشت (جدول ۳).

#### میزان اسیمیلایون CO<sub>2</sub> (A)

در هر سه مرحله مورد بررسی، تنش خشکی، میزان اسیمیلایون CO<sub>2</sub> را در همه ژنوتیپ‌ها کاهش داد. با وجود این، در مرحله گیاهچه‌ای تفاوت معنی‌داری بین ژنوتیپ‌ها از نظر میزان اسیمیلایون CO<sub>2</sub> مشاهده نشد (جدول ۱). در مرحله گلدهی، در هر دو شرایط تنش خشکی و بدون تنش، بیشترین و کمترین میزان اسیمیلایون CO<sub>2</sub> به ترتیب به ژنوتیپ‌های MCC877 و MCC68 اختصاص داشت (جدول ۲). در مرحله غلافدهی، در هر دو شرایط تنش خشکی و بدون تنش، میزان اسیمیلایون CO<sub>2</sub> در ژنوتیپ‌های متحمل MCC877 و MCC392 بیشتر از ژنوتیپ‌های حساس MCC68 و MCC448 بود (جدول ۳).

#### میزان تعرق (E)

در هر سه مرحله مورد بررسی، تنش خشکی، میزان تعرق را در همه ژنوتیپ‌ها کاهش داد. در مرحله گیاهچه‌ای، بیشترین و کمترین میزان تعرق در شرایط بدون تنش به ترتیب در ژنوتیپ‌های MCC68 و MCC392 مشاهده شد (جدول ۱). در این مرحله، میزان تعرق در شرایط تنش خشکی در ژنوتیپ MCC877 به‌طور معنی‌داری کمتر از سایر ژنوتیپ‌ها بود ( $P \leq 0.05$ ). در مرحله گلدهی، میزان تعرق در شرایط تنش خشکی در ژنوتیپ‌های MCC392 و MCC877 به ترتیب بیشتر از ژنوتیپ‌های MCC68 و MCC448 بود (جدول ۲). در این مرحله، در شرایط تنش خشکی میزان تعرق در ژنوتیپ‌های MCC68، MCC877، MCC392 و MCC448 به ترتیب به میزان ۸۲ درصد، ۸۰ درصد، ۵۵ درصد و ۴۶ درصد نسبت به تیمار شاهد کاهش یافت (جدول ۲). در مرحله غلافدهی، در شرایط تنش خشکی، ژنوتیپ متحمل به تنش (MCC877)، از میزان تعرق کمتری نسبت به سایر ژنوتیپ‌ها برخوردار بود (جدول ۳).

#### میزان کارایی PSII (Fv/Fm)

در مرحله گیاهچه‌ای و در شرایط بدون تنش، ژنوتیپ MCC877 کارایی PSII بیشتری نسبت به سایر ژنوتیپ‌ها داشت و در شرایط تنش خشکی ژنوتیپ‌های MCC392 و MCC448 به ترتیب دارای بیشترین و کمترین کارایی PSII بودند (شکل ۱-الف).

کلروفیل فلورومتر مدل OS5-FI اندازه‌گیری شد. برای سنجش عملکرد فتوسیستم II، نسبت Fv (تفاوت حداکثر فلوروسانس با حداقل فلوروسانس [Fm-F0]) به Fm (حداکثر فلوروسانس) توسط دستگاه اندازه‌گیری شد.

F0: عملکرد فلوروسانس در غیاب نور فتوسنتزی است که همان حداقل فلوروسانس است (Maxwell et al., 2000).

برای سنجش میزان کلروفیل‌ها و کاروتنوئیدها از روش Lichtenthaler (1987) استفاده شد. میزان کلروفیل کل، کلروفیل a و b و کاروتنوئیدها از طریق معادله‌های زیر محاسبه گردید. ضریب ثبات کلروفیل (CSI) نیز مطابق معادله زیر (Sairam et al., 1997) محاسبه شد.

معادله (۱)  $21.21A_{647} - 5.1A_{664}$  = کلروفیل b (Chlb)

معادله (۲)  $12.25 A_{664} - 2.79A_{647}$  = کلروفیل a (Chla)

معادله (۳)  $chl a + chl b$  = کلروفیل کل (Tchl)

معادله (۴)  $carotenoid = \frac{1000A_{470} - 1.8chl a - 85.02chl b}{198}$

معادله (۵)  $100 \times$  کلروفیل کل در شرایط بدون تنش / کلروفیل کل در شرایط تنش = CSI

A<sub>647</sub>: میزان جذب نوری در طول موج ۶۴۷ نانومتر، A<sub>664</sub>:

میزان جذب نوری در طول موج ۶۶۴ نانومتر و A<sub>470</sub>: میزان جذب نوری در طول موج ۴۷۰ نانومتر می‌باشد.

#### تجزیه و تحلیل آماری

داده‌های حاصل از اندازه‌گیری‌ها و یادداشت‌برداری‌ها به وسیله نرم‌افزار JMP مورد تجزیه آماری قرار گرفتند. در این آزمایش، داده‌هایی که به صورت درصد بودند، ابتدا به صورت Arc sin تبدیل شدند و سپس تجزیه واریانس داده‌ها انجام شد. مقایسه میانگین‌ها به وسیله نرم‌افزار MSTAT-C انجام شد و سپس شکل‌ها به وسیله نرم‌افزار Excel ترسیم شدند.

#### نتایج و بحث

##### غلظت CO<sub>2</sub> درون‌برگی (Ci)

در مرحله گیاهچه‌ای، غلظت CO<sub>2</sub> درون‌برگی در ژنوتیپ MCC448 به‌طور معنی‌داری کاهش یافت و از ۱۰۲۴ vpm در تیمار شاهد به ۸۰۰ vpm در شرایط تنش خشکی رسید (جدول ۱). تنش خشکی تغییرات معنی‌داری در سایر ژنوتیپ‌ها از نظر غلظت درونی CO<sub>2</sub> ایجاد نکرد (جدول ۱). در مرحله گلدهی، غلظت CO<sub>2</sub> درون‌برگی در همه ژنوتیپ‌ها کاهش یافت. ژنوتیپ متحمل به تنش خشکی MCC877 در هر دو شرایط تنش خشکی و بدون تنش، از بالاترین غلظت CO<sub>2</sub> درون‌برگی برخوردار بود (جدول ۲). در مرحله غلافدهی، غلظت CO<sub>2</sub> درون‌برگی در شرایط تنش خشکی در ژنوتیپ‌های MCC392،

جدول ۱- مقایسه میانگین میزان تعرق، اسیمیلاسیون CO<sub>2</sub>، غلظت CO<sub>2</sub> درون سلولی، کل کلروفیل، عملکرد فتوسنتز و سرعت انتقال الکترون در ژنوتیپ‌های نخود در شرایط تنش خشکی و بدون تنش در مرحله گیاهچه‌ای در شرایط کنترل شده

Table 1. Mean Y (quantum yield of photosynthesis), electron transport rate (ETR), total chlorophyll content (Total Chl.), internal CO<sub>2</sub> concentration (C<sub>i</sub>), CO<sub>2</sub> assimilation rate (A) and transpiration rate (E) in the seedling stage of chickpea genotypes in drought and control conditions

| ژنوتیپ<br>Genotype | تیمار<br>Treatment | عملکرد<br>فتوسنتز<br>(Y) | سرعت انتقال الکترون<br>(ETR)<br>( $\mu\text{mol electron m}^{-2}\text{s}^{-1}$ ) | کل کلروفیل<br>(Total Chl)<br>( $\text{mg g}^{-1}\text{ F.W.}$ ) | غلظت CO <sub>2</sub><br>درون سلولی<br>(C <sub>i</sub> )<br>(vpm) | اسیمیلاسیون<br>CO <sub>2</sub><br>(A)<br>( $\mu\text{mol m}^{-2}\text{s}^{-1}$ ) | میزان تعرق<br>(E)<br>( $\text{mmol m}^{-2}\text{s}^{-1}$ ) |
|--------------------|--------------------|--------------------------|--|---|--|--|--|
| MCC392             | control            | 0.988ab                  | 1885.8b  | 17.7a   | 817.0b   | 24.4a  | 3.9bcd   |
| MCC68              | "                  | 0.985abc                 | 1885.3b  | 22.1a   | 775.0b   | 17.9a  | 7.4a   |
| MCC877             | "                  | 0.982bc                  | 1878.1bc   | 14.7a   | 862.9b   | 25.2a  | 6.2ab  |
| MCC448             | "                  | 0.989a                   | 1891.0a  | 22.7a   | 1024.0a  | 18.9a  | 6.2ab  |
| MCC392             | drought            | 0.986abc                 | 1880.8bc   | 14.5a   | 868.7b   | 18.2a  | 2.7cd  |
| MCC68              | "                  | 0.980c                   | 1875.9c  | 14.5a   | 882.3b   | 15.2a  | 6.2ab  |
| MCC877             | "                  | 0.981bc                  | 1874.8c  | 16.4a   | 817.4b   | 18.3a  | 2.3d   |
| MCC448             | "                  | 0.988ab                  | 1880.1bc   | 22.1a   | 800.4b   | 14.4a  | 2.6cd  |

میانگین‌هایی که در هر ستون، حداقل دارای یک حرف مشترک هستند، مطابق آزمون چنددامنه‌ای دانکن اختلاف معنی‌داری ندارند ( $p \leq 0.05$ ).  
Values with the same letter within a column are not significantly different ( $p \leq 0.05$ ).

مصرف آب بودند (شکل ۱-ب). در مرحله غلافدهی، میزان کارآیی مصرف آب در ژنوتیپ MCC877 افزایش چشمگیری داشت و کارآیی مصرف آب، در این ژنوتیپ به‌طور معنی‌داری بیشتر از سایر ژنوتیپ‌ها بود (شکل ۱-ب).

#### سرعت انتقال الکترون (ETR)

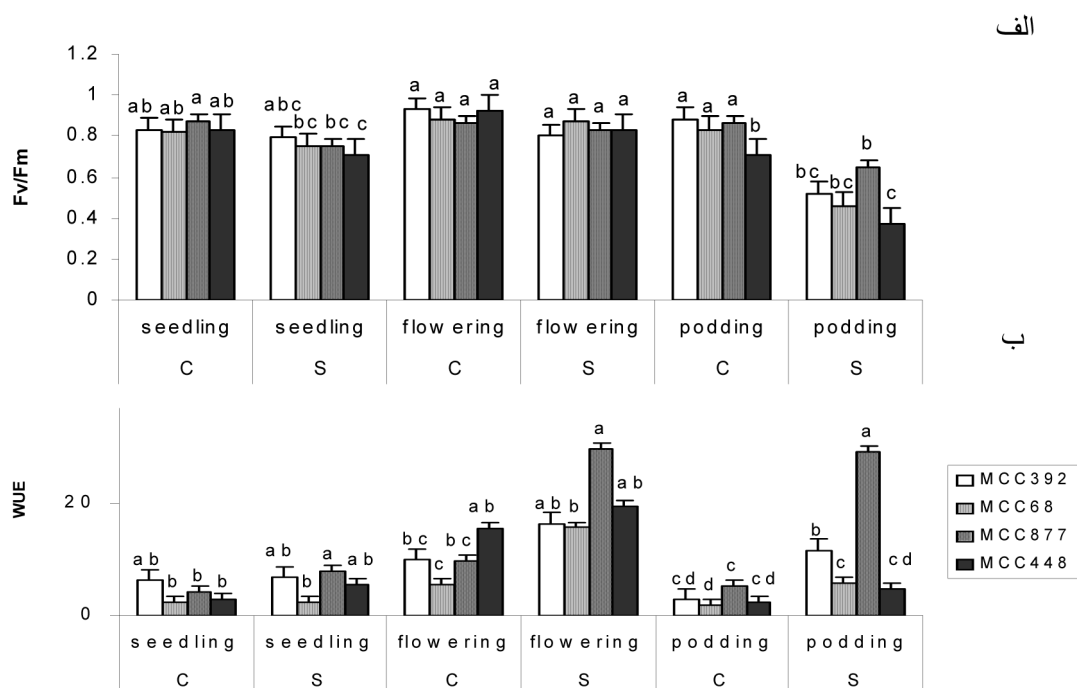
در هر سه مرحله مورد بررسی، تنش خشکی سرعت انتقال الکترون را در همه ژنوتیپ‌ها کاهش داد (جدول‌های ۲، ۱ و ۳). در مرحله گیاهچه‌ای و در شرایط تنش خشکی، سرعت انتقال الکترون در ژنوتیپ‌های حساس، کاهش معنی‌داری نشان داد (جدول ۱). در این مرحله رشد، در شرایط بدون تنش، سرعت انتقال الکترون در ژنوتیپ MCC448 به‌طور معنی‌داری بیشتر از سایر ژنوتیپ‌ها بود ( $P \leq 0.05$ ) (جدول ۱).

در مرحله گلدهی، در هر دو شرایط تنش خشکی و بدون تنش، بیشترین و کمترین سرعت انتقال الکترون به‌ترتیب در ژنوتیپ‌های MCC448 و MCC877 مشاهده شد (جدول ۲). در مرحله غلافدهی، در هر دو شرایط تنش خشکی و بدون تنش، بیشترین سرعت انتقال الکترون به ژنوتیپ MCC392 اختصاص داشت ( $P \leq 0.05$ ) (جدول ۳). در شرایط تنش خشکی، تفاوت معنی‌داری بین ژنوتیپ‌های MCC392 و MCC877 از نظر سرعت انتقال الکترون وجود داشت ( $P \leq 0.05$ ) (جدول ۳).

در مرحله گیاهچه‌ای، در هر دو شرایط تنش خشکی و بدون تنش، تفاوت معنی‌داری بین ژنوتیپ‌ها وجود نداشت، با این حال، تنش خشکی، کاهش معنی‌داری در کارآیی PSII در ژنوتیپ‌های MCC877 و MCC448 ایجاد نمود (شکل ۱-الف). در مرحله گلدهی، در شرایط تنش خشکی، ژنوتیپ MCC877 کارآیی PSII بیشتری نسبت به سایر ژنوتیپ‌ها داشت (شکل ۱-الف). در مرحله غلافدهی، بیشترین کارآیی PSII در شرایط بدون تنش در ژنوتیپ MCC392 و در شرایط تنش خشکی در ژنوتیپ MCC877 مشاهده شد. در این ارتباط، کارآیی PSII در شرایط تنش خشکی در ژنوتیپ‌های متحمل MCC392 و MCC877 بیشتر از ژنوتیپ‌های حساس MCC68 و MCC448 بود (شکل ۱-الف).

#### کارآیی مصرف آب (WUE)

در هر سه مرحله مورد بررسی، تنش خشکی، کارآیی مصرف آب را در همه ژنوتیپ‌ها افزایش داد (شکل ۱-ب). در شرایط تنش خشکی، کارآیی مصرف آب در هر سه مرحله مورد بررسی، در ژنوتیپ‌های متحمل به تنش خشکی MCC877 و MCC392، بیشتر از ژنوتیپ‌های حساس MCC68 و MCC448 بود (شکل ۱-ب). در دو مرحله گیاهچه‌ای و گلدهی، ژنوتیپ‌های MCC877 و MCC68 در شرایط تنش خشکی به‌ترتیب دارای بیشترین و کمترین میزان کارآیی



شکل ۱- اثرات تنش خشکی بر (الف) کارایی فتوسیستم II (Fv/Fm) و (ب) کارایی مصرف آب (WUE) در مراحل گیاهچه‌ای، گلدهی و غلافدهی (S: تنش خشکی، C: بدون تنش، T: خطای استاندارد (SE)؛

حروف مشترک، نشان‌دهنده عدم اختلاف معنی‌دار بین میانگین‌ها بر اساس آزمون چنددامنه‌ای دانکن در هر مرحله می‌باشد.

**Fig. 1. Effects of drought stress on PSII photochemical efficiency (Fv/Fm) and water use efficiency (WUE) in the seedling, early flowering and podding stages in chickpea genotypes**  
S: drought stress (25%FC) and C: control (FC) conditions. Error bars are SE of means.

مشخص شد که همبستگی مثبت و معنی‌داری بین سرعت انتقال الکترون و عملکرد کوانتومی فتوسنتز در مراحل گیاهچه‌ای ( $r^2=0/99$ )، گلدهی ( $r^2=0/99$ ) و غلافدهی ( $r^2=0/5$ ) وجود دارد.

#### رنگریزه‌های فتوسنتزی

در مرحله گیاهچه‌ای، مقدار کلروفیل a و کاروتنوئید در شرایط تنش خشکی در ژنوتیپ‌های MCC392، MCC68 و MCC448 کاهش و در ژنوتیپ MCC877 افزایش یافت، ولی تغییرات آن معنی‌دار نبود (شکل ۲-الف و ج). مقدار کلروفیل a در ژنوتیپ MCC68 با شدت بیشتری نسبت به ژنوتیپ‌های دیگر کاهش یافت (شکل ۲-الف). در شرایط تنش خشکی، مقدار کلروفیل b در همه ژنوتیپ‌های مورد بررسی افزایش یافت (شکل ۲-ب). در هر دو شرایط تنش خشکی و بدون تنش، بیشترین میزان کلروفیل b و همچنین بیشترین نسبت کلروفیل a/b به ژنوتیپ MCC448 اختصاص یافت (شکل ۲-ب و د). نسبت کلروفیل a/b در شرایط تنش خشکی در همه ژنوتیپ‌ها کاهش یافت (شکل ۲-د).

#### عملکرد کوانتومی فتوسنتز (Y)

تنش خشکی، عملکرد کوانتومی فتوسنتز را در همه مراحل مورد بررسی کاهش داد. در مرحله گیاهچه‌ای، در شرایط تنش خشکی و بدون تنش، عملکرد کوانتومی فتوسنتز در ژنوتیپ MCC448 بیشتر از سایر ژنوتیپ بود (جدول ۱). در مرحله گلدهی، تنش خشکی عملکرد کوانتومی فتوسنتز را در ژنوتیپ MCC68 به‌طور معنی‌داری کاهش داد، بنابراین، این ژنوتیپ دارای کمترین عملکرد کوانتومی فتوسنتز در شرایط تنش خشکی بود (جدول ۲). در مرحله غلافدهی، در شرایط بدون تنش، عملکرد کوانتومی فتوسنتز در ژنوتیپ‌های MCC392 و MCC68 به‌طور معنی‌داری بیشتر از ژنوتیپ‌های MCC448 و MCC877 بود ( $P \leq 0/05$ ) (جدول ۳). عملکرد کوانتومی فتوسنتز در شرایط تنش خشکی، در ژنوتیپ MCC448 بیش از سایر ژنوتیپ‌ها کاهش یافت (جدول ۳). بنابراین، عملکرد کوانتومی فتوسنتز در ژنوتیپ‌های MCC392 و MCC68 به‌طور معنی‌داری بیشتر از ژنوتیپ MCC448 بود ( $P \leq 0/05$ ) (جدول ۳). در بررسی همبستگی بین این صفات

جدول ۲- مقایسه میانگین میزان تعرق، اسیمیلایسیون CO<sub>2</sub>، غلظت CO<sub>2</sub> درون سلولی، کل کلروفیل، عملکرد فتوسنتز و سرعت انتقال الکترون در ژنوتیپ‌های نخود در شرایط تنش خشکی و بدون تنش در مرحله گلدهی در شرایط کنترل شده

**Table 2. Mean Y (quantum yield of photosynthesis), electron transport rate (ETR), total chlorophyll content (Total Chl.), internal CO<sub>2</sub> concentration (C<sub>i</sub>), CO<sub>2</sub> assimilation rate (A) and transpiration rate (E) in the early flowering stage of chickpea genotypes in drought and control conditions**

| ژنوتیپ<br>Genotype | تیمار<br>Treatment | عملکرد<br>فتوسنتز<br>(Y) | سرعت انتقال الکترون<br>(ETR)<br>( $\mu\text{mol electron m}^{-2}\text{s}^{-1}$ ) | کل کلروفیل<br>(Total Chl)<br>(mg g <sup>-1</sup> F.W.) | غلظت CO <sub>2</sub><br>درون سلولی<br>(C <sub>i</sub> )<br>(vpm) | اسیمیلایسیون<br>CO <sub>2</sub><br>(A)<br>( $\mu\text{mol m}^{-2}\text{s}^{-1}$ ) | میزان تعرق<br>(E)<br>(mmol m <sup>-2</sup> s <sup>-1</sup> ) |
|--------------------|--------------------|--------------------------|--|--|--|---|--|
| MCC392             | control            | 0.94ab                   | 1806.5ab   | 3.7a   | 589.5ab  | 14.9b   | 1.5b   |
| MCC68              | "                  | 0.96a                    | 1810.2a  | 4.0a   | 606.7ab  | 13.0b   | 2.3a   |
| MCC877             | "                  | 0.94ab                   | 1794.3ab   | 1.8b   | 634.1a   | 25.9a   | 2.7a   |
| MCC448             | "                  | 0.95ab                   | 1821.5a  | 3.9a   | 617.6ab  | 15.5b   | 1.0bc  |
| MCC392             | drought            | 0.93ab                   | 1784.0ab   | 1.5b   | 533.0ab  | 11.1ab  | 0.7cd  |
| MCC68              | "                  | 0.91b                    | 1806.2ab   | 1.8b   | 537.3ab  | 6.4b  | 0.4d   |
| MCC877             | "                  | 0.92b                    | 1745.1b  | 0.8b   | 612.4ab  | 16.2ab  | 0.6cd  |
| MCC448             | "                  | 0.94ab                   | 1815.3a  | 1.6b   | 524.7b   | 10.5ab  | 0.5cd  |

میانگین‌هایی که در هر ستون، حداقل دارای یک حرف مشترک هستند، مطابق آزمون چنددامنه‌ای دانکن اختلاف معنی‌داری ندارند (p ≤ 0.05).  
Values with the same letter within a column are not significantly different (p ≤ 0.05).

جدول ۳- مقایسه میانگین میزان تعرق، اسیمیلایسیون CO<sub>2</sub>، غلظت CO<sub>2</sub> درون سلولی، کل کلروفیل، عملکرد فتوسنتز و سرعت انتقال الکترون در ژنوتیپ‌های نخود در شرایط تنش خشکی و بدون تنش در مرحله غلافدهی در شرایط کنترل شده

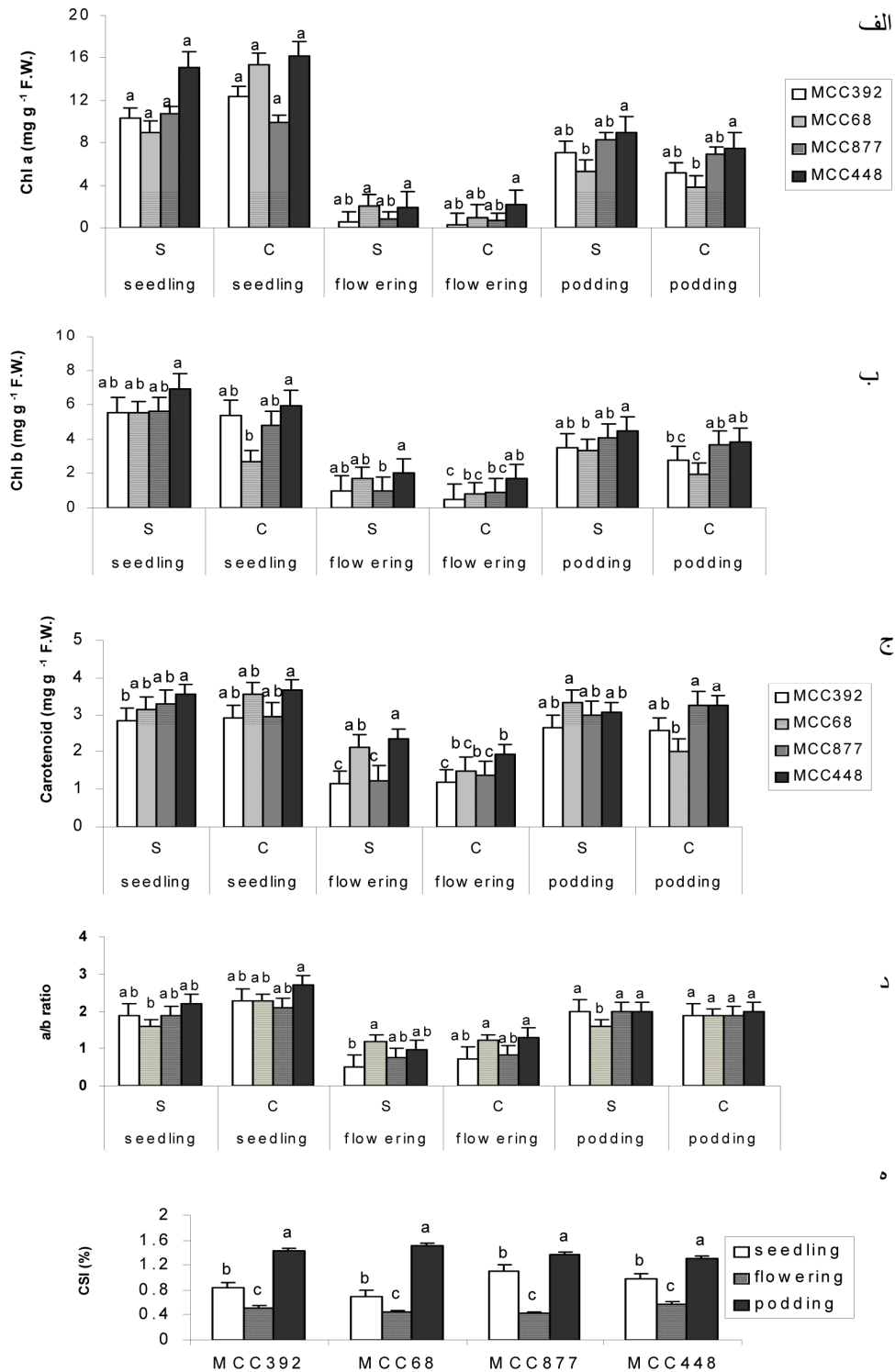
**Table 3. Mean Y (quantum yield of photosynthesis), electron transport rate (ETR), total chlorophyll content (Total Chl.), internal CO<sub>2</sub> concentration (C<sub>i</sub>), CO<sub>2</sub> assimilation rate (A) and transpiration rate (E) in the podding stage of chickpea genotypes in drought and control conditions**

| ژنوتیپ<br>Genotype | تیمار<br>Treatment | عملکرد<br>فتوسنتز<br>(Y) | سرعت انتقال الکترون<br>(ETR)<br>( $\mu\text{mol electron m}^{-2}\text{s}^{-1}$ ) | کل کلروفیل<br>(Total Chl)<br>(mg g <sup>-1</sup> F.W.) | غلظت CO <sub>2</sub><br>درون سلولی<br>(C <sub>i</sub> )<br>(vpm) | اسیمیلایسیون<br>CO <sub>2</sub><br>(A)<br>( $\mu\text{mol m}^{-2}\text{s}^{-1}$ ) | میزان تعرق<br>(E)<br>(mmol m <sup>-2</sup> s <sup>-1</sup> ) |
|--------------------|--------------------|--------------------------|--|--|--|---|--|
| MCC392             | control            | 0.98a                    | 1917.4a  | 7.9ab  | 450.1ab  | 16.7a   | 3.1a   |
| MCC68              | "                  | 0.98a                    | 1822.4ab   | 5.7b   | 439.2ab  | 11.5ab  | 5.9a   |
| MCC877             | "                  | 0.92b                    | 1770.6ab   | 10.6ab   | 464.3ab  | 15.7ab  | 2.9a   |
| MCC448             | "                  | 0.92b                    | 1758.5ab   | 11.3ab   | 580.6a   | 12.ab   | 5.8a   |
| MCC392             | drought            | 0.95ab                   | 1896.3a  | 10.6ab   | 440.9ab  | 14.6ab  | 1.3b   |
| MCC68              | "                  | 0.94ab                   | 1810.8ab   | 8.6ab  | 515.3ab  | 7.5ab   | 1.3b   |
| MCC877             | "                  | 0.87bc                   | 1679.4b  | 12.4ab   | 445.3ab  | 14.5ab  | 0.5b   |
| MCC448             | "                  | 0.85c                    | 1731.9ab   | 13.5a  | 420.6b   | 6.1b  | 1.3b   |

میانگین‌هایی که در هر ستون، حداقل دارای یک حرف مشترک هستند، مطابق آزمون چنددامنه‌ای دانکن اختلاف معنی‌داری ندارند (p ≤ 0.05).  
Values with the same letter within a column are not significantly different (p ≤ 0.05).

بیشترین مقدار کاروتنوئید در شرایط تنش خشکی و بدون تنش برخوردار بود (شکل ۲-ج). نسبت کلروفیل a/b در همه ژنوتیپ‌های مورد بررسی، در شرایط تنش خشکی کاهش یافت (شکل ۲-د). در هر دو شرایط تنش خشکی و بدون تنش، کمترین نسبت کلروفیل a/b به ژنوتیپ MCC392 اختصاص یافت (شکل ۲-د).

در مرحله گلدهی، تنش خشکی تأثیر معنی‌داری بر مقدار کلروفیل a نداشت (شکل ۲-الف). با این حال، در شرایط تنش خشکی، مقدار کلروفیل b در ژنوتیپ MCC448 به‌طور معنی‌داری بیشتر از ژنوتیپ MCC392 بود (P ≤ 0.05) (شکل ۲-ب). در شرایط تنش خشکی، مقدار کاروتنوئید در ژنوتیپ‌های MCC392 و MCC877 کاهش و در ژنوتیپ‌های MCC68 و MCC448 افزایش یافت. ژنوتیپ MCC448 از



شکل ۲- اثرات تنش خشکی بر (الف) میزان کلروفیل a، (ب) کلروفیل b، (ج) کاروتنوئید، (د) نسبت کلروفیل a/b و (ه) ضریب ثبات

کلروفیل (CSI)، در مراحل گیاهچه‌ای، گلدهی و غلافدهی (S: تنش خشکی، C: بدون تنش، T: خطای استاندارد (SE)؛

حروف مشترک، نشان‌دهنده عدم اختلاف معنی‌دار بین میانگین‌ها بر اساس آزمون چنددامنه‌ای دانکن در هر مرحله می‌باشد.

**Fig. 2.** Effects of drought stress on, chlorophyll a (mg Fresh Weight<sup>-1</sup>), b (mg Fresh Weight<sup>-1</sup>), carotenoid content (mg Fresh Weight<sup>-1</sup>), a/b ratio, and chlorophyll stability index (CSI) (%), in the seedling, early flowering and podding stages in chickpea genotypes; S: drought stress (25%FC) and C: control (FC) conditions. Error bars are SE of means.

کاهش اثرات تخریبی ناشی از تنش‌های ثانویه اکسیداتیو شده است (Guerfel *et al.*, 2008).

کاهش غلظت CO<sub>2</sub> درون سلولی به دلیل بسته شدن روزنه‌ها و همچنین ممانعت از انجام برخی فرایندهای متابولیکی از جمله ممانعت از سنتز ATP و فعالیت آنزیم روبیسکو به عنوان یکی از دلایل اصلی کاهش میزان اسیمیلاسیون CO<sub>2</sub> در شرایط تنش خشکی مطرح است (Zlatev & Yordanov, 2004). تنش خشکی علاوه بر تغییر میزان اسیمیلاسیون CO<sub>2</sub> و تعرق، از طریق تخریب ساختار فتوسیستم II و افزایش میزان فلونورسانس کلروفیل، بر عملکرد گیاه تأثیرگذار است (Dulai *et al.*, 2006). در این بررسی، میزان کارایی فتوسیستم II، سرعت انتقال الکترون و عملکرد کوانتومی فتوسنتز در شرایط تنش خشکی کاهش یافت و در مراحل گیاهچه‌ای و غلافدهی، ژنوتیپ‌های متحمل به خشکی MCC392 و MCC877، از کارایی فتوسیستم II بیشتری نسبت به ژنوتیپ‌های حساس MCC68 و MCC448 برخوردار بودند. کاهش سرعت انتقال الکترون و عملکرد کوانتومی فتوسنتز گیاه در شرایط تنش خشکی، ممکن است به دلیل تخریب سیکل کالوین، به تأخیر افتادن احیای کوئینون‌ها و همچنین تخریب زنجیره انتقال الکترون غشاء تیلاکوئید باشد (Tilahun & Sven, 2003). کاهش نسبت Fv/Fm در شرایط تنش خشکی می‌تواند نشان‌دهنده این موضوع باشد که انتقال الکترون از فتوسیستم II به فتوسیستم I تحت تأثیر تنش خشکی قرار گرفته و کاهش می‌یابد (Lu & Zhang, 1998).

نتایج حاصل از بررسی‌ها مؤید این است که کمپلکس آزادکننده اکسیژن فتوسیستم II و مراکز واکنش فتوسیستم II، تحت تأثیر تنش خشکی تخریب می‌شوند. اثر تخریبی تنش خشکی بر پروتئین D<sub>1</sub> که در ساختمان فتوسیستم II قرار دارد نیز گزارش شده است (Reddy *et al.*, 2003؛ Zlatev 2004؛ Lu & Zhang, 1998؛ & Yordanov, 1998). مطالعات نشان داده‌اند که ممانعت از آزادسازی O<sub>2</sub> که وابسته به CO<sub>2</sub> است و ممانعت از اسیمیلاسیون CO<sub>2</sub> در شرایط تنش خشکی با افزایش غلظت CO<sub>2</sub> محیط بهبود می‌یابد که این امر، نشان‌دهنده نقش کلیدی روزنه‌ها در کاهش اسیمیلاسیون CO<sub>2</sub> در شرایط تنش خشکی است (Lu & Zhang, 1998؛ Tilahun & Sven, 2003). همچنین مشخص شده است که در شرایط تنش خشکی، تجمع QB غیراحیاء افزایش می‌یابد که این امر نشان‌دهنده عدم انتقال الکترون از QA<sup>-</sup> احیاء به QB است. در چنین شرایطی تجمع QA<sup>-</sup> نیز افزایش می‌یابد. علت این امر هنوز کاملاً مشخص نیست، ولی ممکن است کاهش اسیمیلاسیون CO<sub>2</sub> در اثر بسته شدن روزنه‌ها در شرایط تنش

در مرحله غلافدهی، مقدار کلروفیل a و b در همه ژنوتیپ‌ها در شرایط تنش خشکی افزایش یافت (شکل ۲-الف و ب). در هر دو شرایط تنش خشکی و بدون تنش، ژنوتیپ‌های MCC448 و MCC68 به ترتیب دارای بیشترین و کمترین مقدار کلروفیل a و b بودند (شکل ۲-الف و ب). مقدار کاروتنوئید در شرایط تنش خشکی در ژنوتیپ MCC68 به طور معنی‌داری افزایش یافت (P ≤ 0/05)، ولی در سایر ژنوتیپ‌های مورد بررسی تفاوت معنی‌داری نداشت (شکل ۲-ج). نسبت کلروفیل a/b در شرایط تنش خشکی در ژنوتیپ‌های MCC877 و MCC392 افزایش و در ژنوتیپ MCC68 به طور معنی‌داری کاهش یافت (P ≤ 0/05) (شکل ۲-د). تفاوت معنی‌داری بین ژنوتیپ‌ها از نظر نسبت کلروفیل a/b در شرایط بدون تنش وجود نداشت (شکل ۲-د)، اما در شرایط تنش خشکی، نسبت کلروفیل a/b، در ژنوتیپ MCC68 به طور معنی‌داری کمتر از سایر ژنوتیپ‌ها بود. ضریب ثبات کلروفیل (CSI) در مراحل مورد بررسی متفاوت بود (P ≤ 0/05) (شکل ۲-ه). مرحله غلافدهی و گلدهی به ترتیب دارای بیشترین و کمترین ضریب ثبات کلروفیل در شرایط تنش خشکی بودند. ژنوتیپ MCC877 در مرحله گیاهچه‌ای از بیشترین ضریب ثبات کلروفیل در مقایسه با سایر ژنوتیپ‌ها برخوردار بود (شکل ۲-ه). بیشترین ضریب ثبات کلروفیل در مرحله گلدهی، به ژنوتیپ MCC448 و در مرحله غلافدهی به ژنوتیپ MCC68 اختصاص یافت (شکل ۲-و).

در بررسی میزان همبستگی رنگدانه‌های فتوسنتزی مشخص شد که همبستگی مثبت و بسیار معنی‌داری بین میزان کلروفیل a و b در مراحل گیاهچه‌ای (r<sup>2</sup> = 0/60)، گلدهی (r<sup>2</sup> = 0/76) و غلافدهی (r<sup>2</sup> = 0/23) وجود دارد. همچنین میزان کاروتنوئید و میزان کلروفیل کل، همبستگی مثبت و بسیار معنی‌داری در مراحل گیاهچه‌ای (r<sup>2</sup> = 0/74)، گلدهی (r<sup>2</sup> = 0/95) و غلافدهی (r<sup>2</sup> = 0/94) با یکدیگر داشتند.

در این بررسی، تنش خشکی سبب کاهش میزان تعرق و اسیمیلاسیون CO<sub>2</sub> در همه ژنوتیپ‌ها شد. میزان تعرق در ژنوتیپ متحمل به خشکی MCC877 در شرایط تنش خشکی بیش از سایر ژنوتیپ‌ها کاهش یافت. در شرایط تنش خشکی، ژنوتیپ‌های متحمل به خشکی MCC392 و MCC877 از اسیمیلاسیون CO<sub>2</sub> و کارایی استفاده از آب بیشتری نسبت به ژنوتیپ‌های حساس MCC68 و MCC448 برخوردار بودند. در مرحله گلدهی و غلافدهی، غلظت CO<sub>2</sub> درون برگ‌ها در ژنوتیپ‌های متحمل به تنش خشکی MCC392 و MCC877 بالاتر از ژنوتیپ‌های حساس MCC68 و MCC448 بود. بالاتر بودن میزان فتوسنتز در شرایط تنش خشکی در ژنوتیپ‌های متحمل نسبت به ژنوتیپ‌های حساس، منجر به



گلدھی حساسیت بالایی نسبت به تنش خشکی دارد، در این مرحله از رشد، جهت کاهش اثرات کم‌آبی، کاهش در میزان جذب نور رخ می‌دهد، بنابراین میزان رنگدانه‌ها نیز کاهش می‌یابد. برخی از محققان علت کاهش میزان رنگدانه‌های فتوسنتزی در مراحل اولیه رشد گیاه در شرایط تنش خشکی را کاهش محتوای نسبی آب برگ دانسته و افزایش میزان رنگدانه‌های فتوسنتزی در مراحل بعدی رشد گیاه را به دلیل افزایش میزان رطوبت سطح داخلی برگ به دلیل لوله‌شدن برگ‌ها در نتیجه تنش خشکی ذکر کرده‌اند (Jaleel et al., 2009). کاهش میزان کل کلروفیل و کاروتنوئید در شرایط تنش خشکی در زیتون (*Olea europaea* L.)، *Arachis hypogea* L و لوبیا نیز گزارش شده است (Guelfel et al., 2008; Reddy et al., 2003; Zlatev & Yordanov, 2004). از نظر میزان کاروتنوئیدها، ژنوتیپ MCC68 در شرایط تنش خشکی در هر سه مرحله مورد بررسی از کاروتنوئید بیشتری نسبت به ژنوتیپ MCC392 برخوردار بود. با توجه به نقش حفاظتی کاروتنوئیدها در شرایط تنش (Jaleel et al., 2009)، بالابودن میزان کاروتنوئیدها در این شرایط در ژنوتیپ‌های MCC68 و MCC448 می‌تواند به‌عنوان یک پاسخ دفاعی به تنش خشکی مطرح باشد. اما با این حال، افزایش میزان کاروتنوئید در شرایط تنش خشکی در ژنوتیپ‌های حساس نتوانست به‌طور مؤثری اثرات تخریبی تنش خشکی را کاهش دهد و در نتیجه با وجود افزایش میزان کاروتنوئید، افزایش تخریب فتوسیستم II و کاهش کارایی این فتوسیستم در شرایط تنش خشکی، در ژنوتیپ‌های حساس مشهود بود. بنابراین می‌توان گفت که افزایش کاروتنوئید در شرایط تنش خشکی به‌تنهایی قادر به کاهش اثرات تخریبی تنش خشکی بر فتوسیستم II نخواهد بود و احتمالاً جهت حفظ کارایی فتوسیستم II، مکانیسم‌های دفاعی دیگری نیز مورد نیاز است.

ضریب ثبات کلروفیل در مرحله غلافدهی در همه ژنوتیپ‌های مورد بررسی و در مرحله گیاهچه‌ای در ژنوتیپ‌های MCC877 و MCC448 بیشتر از واحد بود ( $CSI > 1$ ). ضریب ثبات کلروفیل بیشتر از واحد، نشان‌دهندهٔ بیشتربودن میزان کل کلروفیل در شرایط تنش خشکی نسبت به شرایط بدون تنش است. تغییر میزان کلروفیل کل و کاروتنوئید در شرایط تنش خشکی در پروانش (*Catharanthus roseus*) (Jaleel et al., 2008)، پنبه (*Gossypium hirsutum*) (Mssacci et al., 2008) و لوبیا (*Phaseolus vulgaris*) (Zlatev & Yordanov, 2004) گزارش شده است.

خشکی منجر به مصرف‌نشدن محصولات حاصل از زنجیره انتقال الکترون (ATP، NADPH) شده و از این طریق میزان فرودوکسین احیاء، افزایش یابد و به‌دنبال افزایش فرودوکسین احیاء، تولید رادیکال‌های فعال افزایش یافته و از این طریق، تغییر و یا تخریب پروتئین‌های غشاء تیلاکوئید صورت گیرد. بنابراین، تخریب پروتئین‌های غشاء تیلاکوئید مانع انتقال الکترون از جایگاه پذیرندهٔ فتوسیستم II می‌گردد و این امر موجب کاهش سرعت انتقال الکترون، افزایش فلوتورسانس کلروفیل و کاهش عملکرد فتوسیستم II می‌شود (Piper et al., 2007; Tilahun & Sven, 2003). در این بررسی، همبستگی مثبت و معنی‌داری بین میزان اسیمیلاسیون  $CO_2$  و کارایی فتوسیستم II در مراحل گیاهچه‌ای ( $r^2 = 0.09$ ) و غلافدهی ( $r^2 = 0.26$ ) وجود داشت ( $P \leq 0.05$ ).

کارایی بالاتر مصرف آب، میزان فتوسنتز و کارایی فتوسیستم II در ژنوتیپ‌های متحمل به خشکی بادام‌زمینی (*Arachis hypogea*) (Reddy et al., 2003) و لوبیا (Ahmed et al., 2002) نیز گزارش شده است. گزارش شده است که کارایی استفاده از آب می‌تواند به‌عنوان یک شاخص مناسب جهت ارزیابی میزان تحمل ژنوتیپ‌ها به تنش خشکی مورد استفاده قرار گیرد (Wright & Rao, 1992). در شرایط تنش خشکی، کاهش کارایی فتوسیستم II در بررسی‌هایی که بر روی لوبیا (Zlatev & Yordanov, 2004)، آفتاب‌گردان (Kiani et al., 2008) و *Aegilops* (Dulai et al., 2006) انجام شده، گزارش شده است.

در بررسی حاضر، میزان رنگدانه‌های فتوسنتزی علاوه بر تنش خشکی، تحت تأثیر ژنوتیپ و مرحله فنولوژیک گیاه نیز قرار گرفت. میزان کلروفیل در مرحله گیاهچه‌ای بیشتر از مراحل گلدھی و غلافدهی بود که این افزایش با تخصیص بیشتر ماده و انرژی جهت رشد و نمو گیاه و افزایش رشد رویشی مطابقت دارد. در شرایط بروز تنش خشکی در مرحله گیاهچه‌ای، میزان کلروفیل گیاهچه‌ها کاهش یافت. در هر سه مرحله مورد بررسی، از نظر میزان کلروفیل a و b، تفاوت معنی‌داری بین ژنوتیپ‌های حساس و متحمل به تنش خشکی مشاهده نشد. در شرایط بروز تنش خشکی در مرحله گیاهچه‌ای، کاهش میزان کلروفیل رُخ داد. تغییرات میزان رنگدانه‌ها در مرحله گلدھی، شدیدتر از مراحل گیاهچه‌ای و غلافدهی بود. کاهش شدید میزان کلروفیل در مرحله گلدھی نسبت به دو مرحله گیاهچه‌ای و غلافدهی ممکن است به دلیل اختصاص بیشتر ماده و انرژی به فرایند گلدھی و کاهش انتقال مواد مورد نیاز به برگ‌ها و در نتیجه کاهش روند رشد برگ در این مرحله از رشد باشد. با توجه به این‌که مرحله

متحمل به خشکی نخود پیشنهاد کرد، بااین حال جهت تشخیص دقیق‌تر، بررسی سایر صفات فیزیولوژیک از جمله پتانسیل آب برگ، محتوای نسبی آب برگ، پراکسیداسیون لیپیدها و همچنین بررسی نشان‌گرهای بیوشیمیایی از قبیل میزان فعالیت آنزیم‌های آنتی‌اکسیدان و میزان اسمولیت‌ها، ضروری به نظر می‌رسد.

نتایج حاصل از بررسی‌ها در این آزمایش نشان داد که ژنوتیپ‌های متحمل به خشکی، در شرایط تنش خشکی از کارایی مصرف آب، میزان اسیمیلاسیون CO<sub>2</sub> و کارایی فتوسینتزم II بیشتری نسبت به ژنوتیپ‌های حساس برخوردار بودند، بنابراین شاید بتوان این صفات را به‌عنوان نشانگرهای فیزیولوژیک مناسب برای گزینش ژنوتیپ‌های

#### منابع

- Ahmed, S., Nawata, E., Hosokawa, M., Domae, Y., and Sakuratani, T. 2002. Alterations in photosynthesis and some antioxidant enzymatic activities of mungbean subjected to water logging. *Plant Science* 163: 117-123.
- Bagheri, A., Nezami, A., Ganjeali, A., and Parsa, M. 1997. *The Chickpea*. Mashhad Jahad Daneshgahi Publishers (In Persian).
- Bayoumi, T.Y., Eid, M., and Metwali, E.M. 2008. Application of physiological and biochemical indices as a screening technique for drought tolerance in wheat genotypes. *African Journal of Biotechnology* 7: 2341-2352.
- Dulai, S., Molnár, I., Prónay, J., Csernák, Á., Tarnai, R., and Molnár-Láng, M. 2006. Effects of drought on photosynthetic parameters and heat stability of PSII in wheat and in *Aegilops* species originating from dry habitats. *Acta Biologica Szegediensis* 50: 11-17.
- Farooq, M., Wahid, A., Kobayashi, N., Fujita D., and Basra, S.M.A. 2009. Plant drought stress: effects, mechanisms and management. *Agronomy for Sustainable Development* 29: 185-212.
- Ganjeali, A., Bagheri, A., and Porsa, H. 2009. Evaluation of Chickpea (*Cicer arietinum* L.) germplasm for drought resistance. *Iranian Journal of Field Crops Research* 6: 295-303. (In Persian with English Summary).
- Guerfel, M., Baccouri, O., Boujnah, D., Cha, W., and Zarrouk, M. 2008. Impacts of water stress on gas exchange, water relations, chlorophyll content and leaf structure in the two main Tunisian olive (*Olea europaea* L.) cultivars. *Scientia Horticulturae* 1: 1-7.
- Gunes, A., Cicek, N., Inal, A., Alpaslan, M., Eraslan, F., Guneri E., and Guzelordu, T. 2006. Genotypic response of chickpea (*Cicer arietinum* L.) cultivars to drought stress implemented at pre-and post anthesis stages and its relations with nutrient uptake and efficiency. *Plant Soil Environment* 52: 868-876.
- Jaleel, C.A., Manivannan, P., Wahid, A., Farooq, M., Al-Juburi, H.J., Somasundaram, R., and Panneerselvam, R. 2009. Drought stress plants: a review on morphological characteristics and pigments composition. *International Journal of Agriculture and Biology* 11: 100-105.
- Jaleel, C.A., Manivannan, P., Lakshmanan, G.M.A., Gomathinayagam, M., and Panneerselvam, R. 2008. Alterations in morphological parameters and photosynthetic pigment responses of *Catharanthus roseus* under soil water deficits, Colloids and Surfaces B. *Biointerfaces* 61: 298-303.
- Kiani, S.P., Maury, P., Sarrafi, A., and Grieu, P. 2008. QTL analysis of chlorophyll fluorescence parameters in sunflower (*Helianthus annuus* L.) under well-watered and water-stressed conditions. *Plant Science* 175: 565-573.
- Lichtenthaler, H.K. 1987. Chlorophylls and carotenoids: pigments of photosynthetic membrane. *Methodes in Enzymology* 148: 350-382.
- Lu, C., and Zhang, J. 1998. Effects of water stress on photosynthesis, chlorophyll fluorescence and photoinhibition in wheat plants. *Australian Journal of Plant Physiology* 25: 883-889.
- Maxwell, K., and Giles, N.J. 2000. Chlorophyll fluorescence- a practical guide. *Journal of Experimental Botany* 51: 659-668.
- Mssacci, A., Nabiev, S.M., Pietrosanti, L., Nematov, S.K., Chernikova, T.N., Thor, K., and Leipner, J. 2008. Response of photosynthetic apparatus of cotton (*Gossypium hirsutum*) to the onset of drought stress under field conditions studied by gas-exchange analysis and chlorophyll fluorescence imaging. *Plant Physiology and Biochemistry* 46: 189-195.
- Nunes, C., Ara' ujo, S., da Silva, J.M., Salema Fevereiro, M., and da Silva, A. 2008. Physiological responses of the legume model *Medicago truncatula* cv. Jem along to water deficit. *Environmental and Experimental Botany* 63: 289-296.
- Parameshwarappa, S.G., and Salimath, P.M. 2008. Field screening of chickpea genotypes for drought resistance. *Karnataka Journal of Agriculture Science* 21: 113-114.

18. Piper, F.I., Corcuera, L.J., Alberdi, M., and Lusk, C. 2007. Differential photosynthetic and survival responses to soil drought in two evergreen *Nothofagus* species. *Annals of Forest Science* 64: 447-452.
19. Reddy, T.Y., Reddy, V.R., and Anbumozhi, V. 2003. Physiological responses of groundnut (*Arachis hypogea* L.) to drought stress and its amelioration: a critical review. *Plant Growth Regulation* 41: 75-88.
20. Sairam, R.K., Deshmukh, P.S., and Shukla, D.S. 1997. Tolerance of drought and temperature stress in relation to increased antioxidant enzyme activity in wheat. *Journal of Agronomy and Crop Science* 178: 171.
21. Tilahun, A., and Sven, S. 2003. Mechanisms of drought resistance in grain: PSII stomatal regulation and root growth. *Ethiopian Journal of Science* 26: 137-144.
22. Toker, C., and Çagırgan, M. 1998. Assessment of response to drought stress of chickpea (*Cicer arietinum* L.) lines under rainfed conditions. *Turkish Journal of Agriculture and Forestry* 22: 615-621.
23. Wright, G.C., and Rao, R.C.N. 1992. Genetic variations in water use efficiency in groundnuts. In: S.N. Nigam (Ed.). *Groundnut—A Global Perspective*. International Crops Research Institute for the Semi-Arid Tropics p. 460-475.
24. Zlatev, Z.S., and Yordanov, I.T. 2004. Effects of soil drought on photosynthesis and chlorophyll fluorescence in bean plants. *Bulgarian Journal of Plant Physiology* 30: 3-18.

## Drought stress effects on photosynthesis, chlorophyll fluorescence and photosynthetic pigments in chickpea (*Cicer arietinum* L.) genotypes

Rahbarian<sup>1\*</sup>, R., Khavari Nejad<sup>2</sup>, R., Ganjeali<sup>3</sup>, A., Bagheri<sup>4</sup>, A. & Najafi<sup>5</sup>, F.

1. Contribution of PayameNoor University, Department of Biology, Iran

2. Department of Biology, Tarbiat Moalem University, Tehran, Iran; ra\_khavarinejad@yahoo.com

3. Department of Biology, College of Sciences, Ferdowsi University of Mashhad, Iran; ganjeali@um.ac.ir

4. Department of Biotechnology, College of Agriculture, Ferdowsi University of Mashhad, Iran;  
abagheri@um.ac.ir

5. Department of Biology, Tarbiat Moalem University, Tehran, Iran; f\_najafi@yahoo.com

Received: 24 October 2010

Accepted: 9 March 2011

### Abstract

In order to evaluate of physiological traits, related to drought tolerance, an experiment was carried out in controlled condition. The experiment was conducted to assess the effect of drought stress on photosynthesis, chlorophyll fluorescence and photosynthetic pigments in two tolerant genotypes (MCC392 & MCC877) and two susceptible genotypes (MCC68 & MCC448) were grown in drought stress (25% field capacity) and control (field capacity) conditions in the seedling, early flowering and podding stages and so evaluated base on factorial experiment based on completely randomized design with four replications. Drought stress significantly decreased CO<sub>2</sub> assimilation rate (A), transpiration rate (E), and PSII photochemical efficiency (Fv/Fm) in all genotypes. Drought stress increased chl *b* in all investigated stages. In all investigated stages, water use efficiency (WUE), A and Fv/Fm were higher in tolerant genotypes than that of susceptible genotypes under drought stress. Our results indicated that water use efficiency, A and Fv/Fm could be useful markers in the studies of tolerance to drought stress and screening of adapted cultivars of chickpea under drought stress.

**Key words:** Chickpea (*Cicer arietinum* L.), Chlorophyll fluorescence, CO<sub>2</sub> assimilation rate, Drought stress, Photosynthetic pigments